

Starkniederschlagshöhen und -spenden gemäß KOSTRA-DWD-2020

Rasterfeld 163115

(Zeile 163, Spalte 115)

Regenspende und Bemessungsniederschlagswerte in Abhängigkeit von Wiederkehrzeit T und Dauerstufe D

| Dauerstufe D | Wiederkehrzeit T | | | | | | | | | | | | | | | | | | |
|--------------|------------------|------|------------|------|------------|------|------------|------|------------|------|------------|------|------------|------|------------|------|------------|-------|------------|
| | 1 a | 2 a | 3 a | 5 a | 10 a | 20 a | 30 a | 50 a | 100 a | 1 a | 2 a | 3 a | 5 a | 10 a | 20 a | 30 a | 50 a | 100 a | |
| min | Std | mm | l / (s ha) | mm | l / (s ha) | mm | l / (s ha) | mm | l / (s ha) | mm | l / (s ha) | mm | l / (s ha) | mm | l / (s ha) | mm | l / (s ha) | mm | l / (s ha) |
| 5 | | 7,8 | 260,0 | 9,5 | 316,7 | 10,6 | 353,3 | 12,0 | 400,0 | 14,0 | 466,7 | 16,1 | 536,7 | 17,5 | 583,3 | 19,3 | 643,3 | 21,9 | 730,0 |
| 10 | | 9,8 | 163,3 | 12,0 | 200,0 | 13,4 | 223,3 | 15,2 | 253,3 | 17,8 | 296,7 | 20,4 | 340,0 | 22,2 | 370,0 | 24,4 | 406,7 | 27,7 | 461,7 |
| 15 | | 11,0 | 122,2 | 13,5 | 150,0 | 15,0 | 166,7 | 17,0 | 188,9 | 19,9 | 221,1 | 22,9 | 254,4 | 24,8 | 275,6 | 27,4 | 304,4 | 31,0 | 344,4 |
| 20 | | 11,9 | 99,2 | 14,5 | 120,8 | 16,2 | 135,0 | 18,3 | 152,5 | 21,4 | 178,3 | 24,6 | 205,0 | 26,7 | 222,5 | 29,5 | 245,8 | 33,4 | 278,3 |
| 30 | | 13,0 | 72,2 | 16,0 | 88,9 | 17,8 | 98,9 | 20,1 | 111,7 | 23,6 | 131,1 | 27,1 | 150,6 | 29,4 | 163,3 | 32,4 | 180,0 | 36,7 | 203,9 |
| 45 | | 14,3 | 53,0 | 17,4 | 64,4 | 19,4 | 71,9 | 22,0 | 81,5 | 25,7 | 95,2 | 29,6 | 109,6 | 32,1 | 118,9 | 35,4 | 131,1 | 40,1 | 148,5 |
| 60 | 1 | 15,1 | 41,9 | 18,5 | 51,4 | 20,6 | 57,2 | 23,4 | 65,0 | 27,3 | 75,8 | 31,4 | 87,2 | 34,1 | 94,7 | 37,6 | 104,4 | 42,6 | 118,3 |
| 90 | 1,5 | 16,4 | 30,4 | 20,1 | 37,2 | 22,4 | 41,5 | 25,3 | 46,9 | 29,6 | 54,8 | 34,1 | 63,1 | 37,0 | 68,5 | 40,8 | 75,6 | 46,2 | 85,6 |
| 120 | 2 | 17,4 | 24,2 | 21,2 | 29,4 | 23,6 | 32,8 | 26,8 | 37,2 | 31,3 | 43,5 | 36,0 | 50,0 | 39,1 | 54,3 | 43,1 | 59,9 | 48,9 | 67,9 |
| 180 | 3 | 18,8 | 17,4 | 23,0 | 21,3 | 25,6 | 23,7 | 29,0 | 26,9 | 33,9 | 31,4 | 38,9 | 36,0 | 42,3 | 39,2 | 46,6 | 43,1 | 52,8 | 48,9 |
| 240 | 4 | 19,8 | 13,8 | 24,2 | 16,8 | 27,0 | 18,8 | 30,6 | 21,3 | 35,8 | 24,9 | 41,1 | 28,5 | 44,6 | 31,0 | 49,2 | 34,2 | 55,8 | 38,8 |
| 360 | 6 | 21,4 | 9,9 | 26,2 | 12,1 | 29,1 | 13,5 | 33,0 | 15,3 | 38,6 | 17,9 | 44,4 | 20,6 | 48,1 | 22,3 | 53,1 | 24,6 | 60,2 | 27,9 |
| 540 | 9 | 23,1 | 7,1 | 28,2 | 8,7 | 31,4 | 9,7 | 35,6 | 11,0 | 41,6 | 12,8 | 47,8 | 14,8 | 51,9 | 16,0 | 57,2 | 17,7 | 64,9 | 20,0 |
| 720 | 12 | 24,3 | 5,6 | 29,7 | 6,9 | 33,1 | 7,7 | 37,5 | 8,7 | 43,9 | 10,2 | 50,4 | 11,7 | 54,7 | 12,7 | 60,4 | 14,0 | 68,4 | 15,8 |
| 1080 | 18 | 26,2 | 4,0 | 32,0 | 4,9 | 35,7 | 5,5 | 40,4 | 6,2 | 47,3 | 7,3 | 54,3 | 8,4 | 59,0 | 9,1 | 65,0 | 10,0 | 73,7 | 11,4 |
| 1440 | 24 | 27,6 | 3,2 | 33,8 | 3,9 | 37,6 | 4,4 | 42,6 | 4,9 | 49,8 | 5,8 | 57,3 | 6,6 | 62,2 | 7,2 | 68,6 | 7,9 | 77,7 | 9,0 |
| 2880 | 48 | 31,4 | 1,8 | 38,4 | 2,2 | 42,7 | 2,5 | 48,4 | 2,8 | 56,6 | 3,3 | 65,0 | 3,8 | 70,6 | 4,1 | 77,8 | 4,5 | 88,2 | 5,1 |
| 4320 | 72 | 33,8 | 1,3 | 41,3 | 1,6 | 46,0 | 1,8 | 52,1 | 2,0 | 60,9 | 2,3 | 70,0 | 2,7 | 76,0 | 2,9 | 83,8 | 3,2 | 95,0 | 3,7 |
| 5760 | 96 | 35,6 | 1,0 | 43,5 | 1,3 | 48,5 | 1,4 | 54,9 | 1,6 | 64,2 | 1,9 | 73,8 | 2,1 | 80,1 | 2,3 | 88,3 | 2,6 | 100,2 | 2,9 |
| 7200 | 120 | 37,1 | 0,9 | 45,3 | 1,0 | 50,5 | 1,2 | 57,2 | 1,3 | 66,9 | 1,5 | 76,9 | 1,8 | 83,4 | 1,9 | 92,0 | 2,1 | 104,3 | 2,4 |
| 8640 | 144 | 38,3 | 0,7 | 46,9 | 0,9 | 52,2 | 1,0 | 59,1 | 1,1 | 69,2 | 1,3 | 79,5 | 1,5 | 86,3 | 1,7 | 95,1 | 1,8 | 107,9 | 2,1 |
| 10080 | 168 | 39,4 | 0,7 | 48,2 | 0,8 | 53,7 | 0,9 | 60,8 | 1,0 | 71,1 | 1,2 | 81,8 | 1,4 | 88,7 | 1,5 | 97,9 | 1,6 | 110,9 | 1,8 |

Starkniederschlagshöhen und -spenden gemäß KOSTRA-DWD-2020

Rasterfeld 163115

(Zeile 163, Spalte 115)

Örtliche Unsicherheiten in Abhängigkeit von Wiederkehrzeit T und Dauerstufe D

| Dauerstufe D | | Wiederkehrzeit T | | | | | | | | |
|--------------|-----|------------------|-----|-----|-----|------|------|------|------|-------|
| | | 1 a | 2 a | 3 a | 5 a | 10 a | 20 a | 30 a | 50 a | 100 a |
| min | Std | ± % | ± % | ± % | ± % | ± % | ± % | ± % | ± % | ± % |
| 5 | | 12 | 11 | 11 | 11 | 11 | 11 | 11 | 12 | 12 |
| 10 | | 10 | 11 | 12 | 13 | 14 | 15 | 15 | 16 | 16 |
| 15 | | 12 | 14 | 15 | 16 | 17 | 18 | 18 | 19 | 19 |
| 20 | | 14 | 15 | 16 | 17 | 18 | 19 | 20 | 20 | 21 |
| 30 | | 15 | 17 | 18 | 19 | 20 | 21 | 22 | 22 | 23 |
| 45 | | 16 | 18 | 19 | 20 | 21 | 22 | 23 | 23 | 24 |
| 60 | 1 | 17 | 19 | 20 | 21 | 22 | 23 | 23 | 24 | 24 |
| 90 | 1,5 | 17 | 19 | 20 | 21 | 22 | 23 | 23 | 24 | 24 |
| 120 | 2 | 16 | 18 | 20 | 21 | 22 | 23 | 23 | 24 | 24 |
| 180 | 3 | 16 | 18 | 19 | 20 | 21 | 22 | 23 | 23 | 24 |
| 240 | 4 | 15 | 18 | 18 | 20 | 21 | 22 | 22 | 23 | 23 |
| 360 | 6 | 15 | 17 | 18 | 19 | 20 | 21 | 21 | 22 | 22 |
| 540 | 9 | 14 | 16 | 17 | 18 | 19 | 20 | 20 | 21 | 22 |
| 720 | 12 | 14 | 15 | 16 | 17 | 18 | 19 | 20 | 20 | 21 |
| 1080 | 18 | 13 | 15 | 16 | 17 | 18 | 19 | 19 | 19 | 20 |
| 1440 | 24 | 13 | 14 | 15 | 16 | 17 | 18 | 18 | 19 | 19 |
| 2880 | 48 | 12 | 14 | 14 | 15 | 16 | 17 | 17 | 18 | 18 |
| 4320 | 72 | 12 | 13 | 14 | 15 | 16 | 16 | 17 | 17 | 18 |
| 5760 | 96 | 12 | 13 | 14 | 14 | 15 | 16 | 16 | 17 | 17 |
| 7200 | 120 | 12 | 13 | 14 | 14 | 15 | 16 | 16 | 16 | 17 |
| 8640 | 144 | 12 | 13 | 14 | 14 | 15 | 16 | 16 | 16 | 17 |
| 10080 | 168 | 13 | 13 | 14 | 14 | 15 | 15 | 16 | 16 | 17 |

Parameter für abweichende T und D

Lokationsparameter ξ (Xi)

15,48698682

Skalenparameter α (Alpha)

4,80561197

Formparameter κ (Kappa)

-0,1

1. Koutsoyiannis-Parameter θ (Theta)

0,0277174

2. Koutsoyiannis-Parameter η (Eta)

0,81752898

Parameter für dauerstufenübergreifende Extremwertschätzung nach KOUTSOYIANNIS et al. 1998.

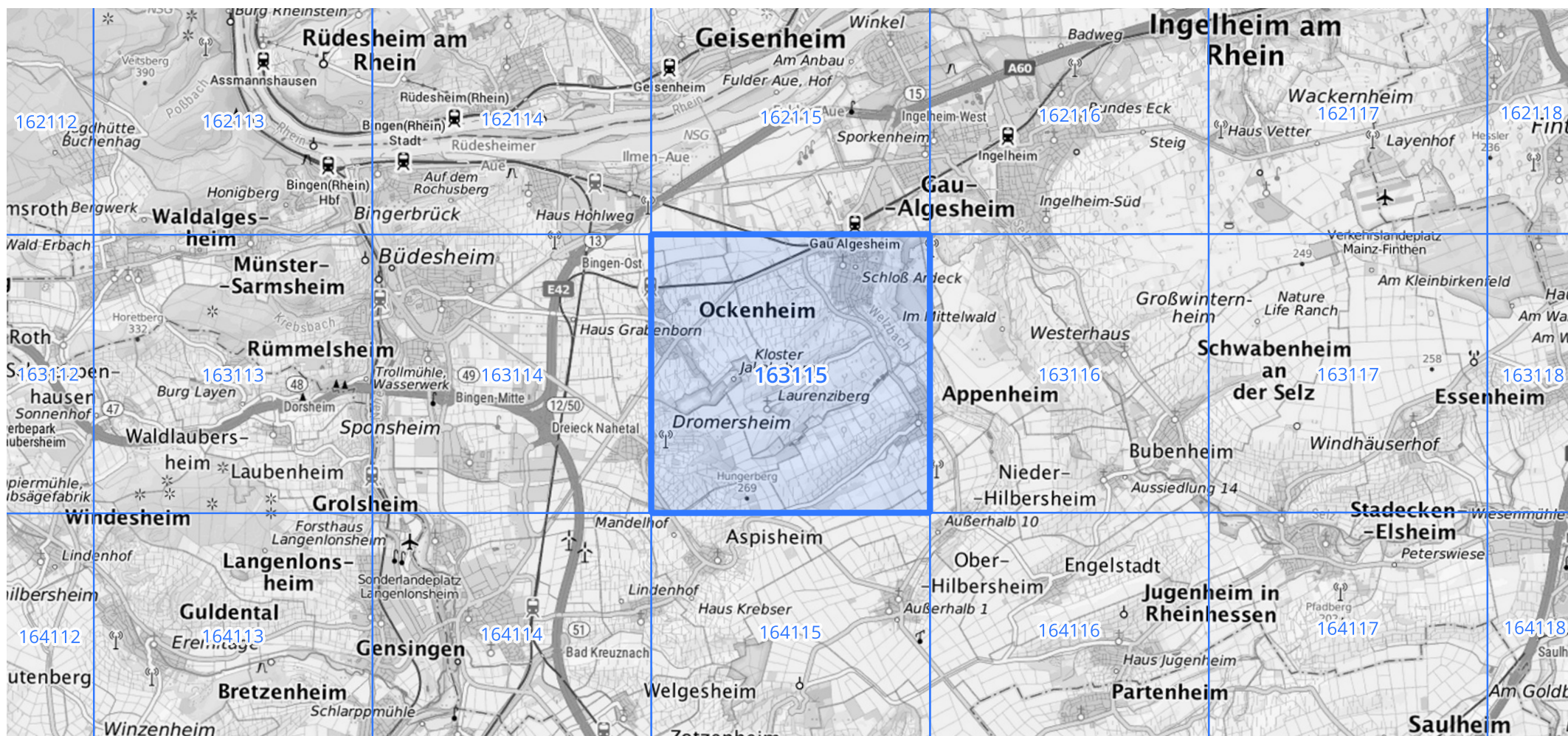
Siehe auch Anwendungshilfe zu KOSTRA-DWD-2020 des Deutschen Wetterdienstes.

Starkniederschlagshöhen und -spenden gemäß KOSTRA-DWD-2020

Rasterfeld 163115

(Zeile 163, Spalte 115)

Übersichtskarte des Rasterfeldes 163115, M 1 : 100 000



Quelle Rasterdaten: KOSTRA-DWD-2020 des Deutschen Wetterdienstes, Stand 12/2022.

Seite 3 von 3

Kartendarstellung: © Bundesamt für Kartographie und Geodäsie (2023), Datenquellen: https://sgx.geodatenzentrum.de/web_public/gdz/datenquellen/Datenquellen_TopPlusOpen.html

Für die Richtigkeit und Aktualität der Angaben wird keine Gewähr übernommen. Erstellt 01/2023.